

SIMULAÇÃO DE SISTEMA DE LEVITAÇÃO DE ESFERA EMBARCADA EM UM CORPO EM MOVIMENTO

Daniel G. de F. Blaskiewicz* e Maurício Gruzman

Instituto Militar de Engenharia, Seção de Engenharia Mecânica e de Materiais, 22290-270 – Rio de Janeiro, RJ, Brasil

Palavras-chave: Atuador eletromagnético, Controle PID.

Resumo: Neste artigo é apresentado o modelo de um sistema constituído por três pares de atuadores eletromagnéticos colineares, cuja finalidade é manter uma esfera metálica levitando entre eles. Considera-se que o sistema é fixo em um veículo que, por sua vez, possui movimentos prescritos. Controladores PID independentes são empregados em cada par de atuadores de modo a fornecer correntes de controle adequadas para manter a esfera levitando. Para se obter os ganhos dos controladores, considera-se o modelo linearizado do sistema. Por fim são apresentados resultados de uma simulação onde se considera as equações não-lineares do sistema e se verifica a adequabilidade dos controladores para manter a esfera levitando entre eles.

Endereços de e-mail: danigfb@hotmail.com *, guzman@ime.eb.br

1 INTRODUÇÃO

É cada vez mais comum a disseminação e utilização de equipamentos embarcados em corpos em movimento, destinados a direcioná-los por uma trajetória ou para a navegação entre dois pontos predeterminados.

Dentre os vários tipos de sensores de orientação, há um modelo muito promissor, o qual se constitui na levitação de uma esfera de material ferromagnético [1, 2, 10], conforme é apresentado na Figura 1.

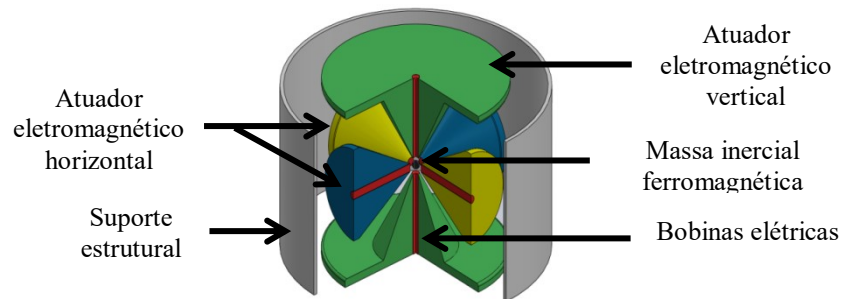


Figura 1: Modelo de atuador eletromagnético com esfera levitada [4]

2 MODELAGEM DO ATUADOR ELETROMAGNÉTICO

2.1 Princípio de operação

O funcionamento do sistema inicia-se quando são fornecidas correntes elétricas, $i(t)$, às bobinas dos atuadores, de modo a se colocar para levitar entre os mesmos a esfera. Nesta condição, tem-se os eixos coordenados do par de atuadores colineares ($z_a y_a$) coincidentes aos da esfera ($z_e y_e$), conforme a Figura 2(a).

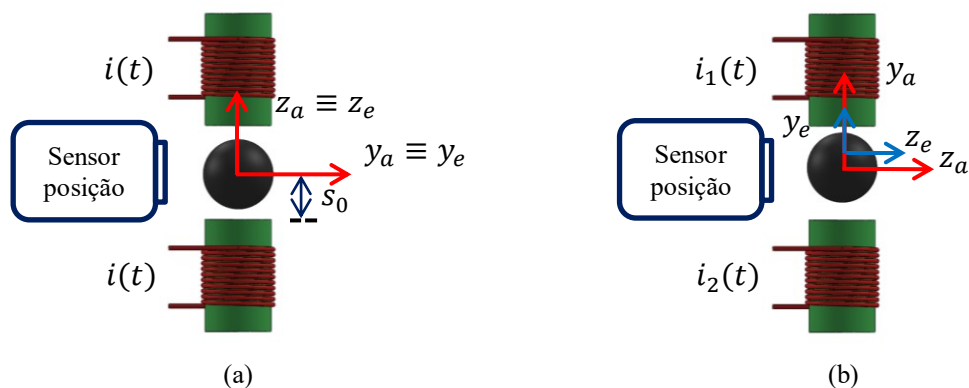


Figura 2: Movimento do corpo no qual os atuadores são montados

Quando os atuadores são sujeitos a movimentos, a esfera é deslocada de sua posição desejada, que é aquela em que seu centro de massa coincide com o centro geométrico do sistema, s_0 , e tenderá a se chocar contra os atuadores, conforme é apresentado na Figura 2(b).

Sensores de posicionamento são capazes de medir a distância entre as superfícies da esfera e os atuadores colineares para obter, indiretamente, os erros de posição, que são fornecidos ao controlador. Assim o controlador intervém na corrente elétrica, fazendo com que os atuadores movam a esfera para a posição desejada.

2.2 Modelagem do conjunto de atuadores eletromagnéticos

Na Figura 3 há a representação de um par de atuadores eletromagnéticos colineares e uma esfera metálica.

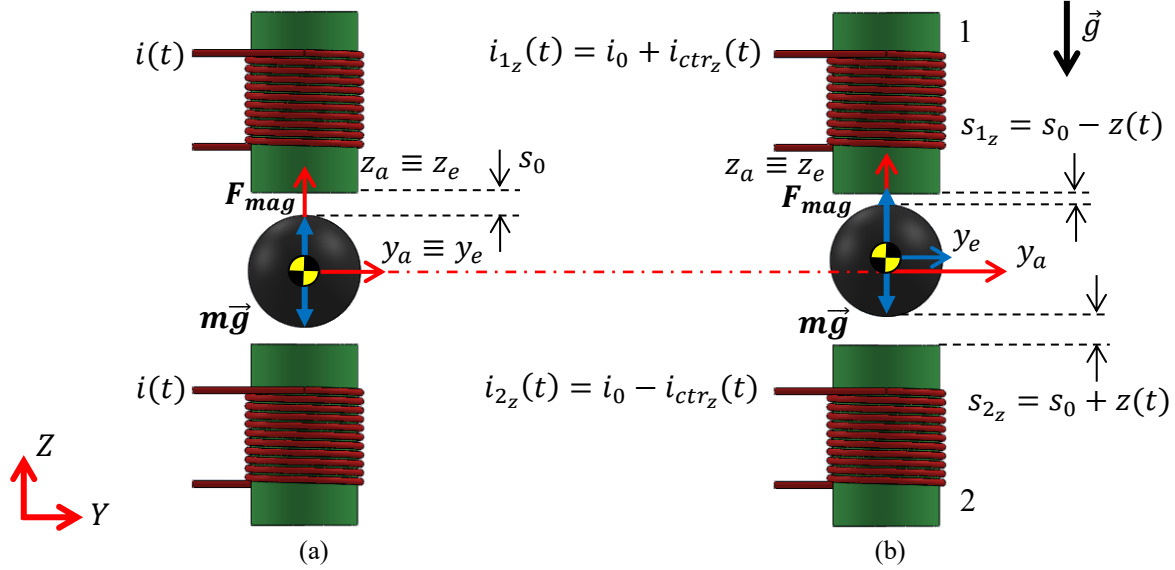


Figura 3: Sistema em equilíbrio (a) e perturbação no atuador (b)

A partir dessas observações, tem-se a modelagem deste sistema por meio do equilíbrio de forças que atuam na esfera [14] nas direções dos atuadores xyz :

$$\begin{aligned}
 F_x(t) &= k_f \left[\frac{i_0 + i_{ctr_x}(t)}{s_0 - \{x_e(t) - x_a(t)\}} \right]^2 - k_f \left[\frac{i_0 - i_{ctr_x}(t)}{s_0 + \{x_e(t) - x_a(t)\}} \right]^2 \\
 F_y(t) &= k_f \left[\frac{i_0 + i_{ctr_y}(t)}{s_0 - \{y_e(t) - y_a(t)\}} \right]^2 - k_f \left[\frac{i_0 - i_{ctr_y}(t)}{s_0 + \{y_e(t) - y_a(t)\}} \right]^2 \\
 F_z(t) &= k_f \left[\frac{i_0 + i_{ctr_z}(t)}{s_0 - \{z_e(t) - z_a(t)\}} \right]^2 - k_f \left[\frac{i_0 - i_{ctr_z}(t)}{s_0 + \{z_e(t) - z_a(t)\}} \right]^2
 \end{aligned} \tag{1}$$

Tal que:

k_f : constante de força eletromagnética, $k_f = \frac{1}{4} \mu_0 A_a N^2$;

μ_0 : permeabilidade do aço;

A_a : área da seção transversal do atuador eletromagnético projetada sobre a superfície da esfera levitada;

N : quantidade de voltas de fio elétrico enroladas na espira do atuador;

i_0 : corrente elétrica *bias*;

$i_{ctr_x}(t)$, $i_{ctr_y}(t)$ e $i_{ctr_z}(t)$: correntes elétricas de controle para os atuadores x , y e z , respectivamente;

$x_e(t)$, $y_e(t)$ e $z_e(t)$: posições da esfera nas direções dos atuadores x , y e z , respectivamente, escrito em um sistema de coordenadas solidário ao centro geométrico do conjunto de atuadores; e

$x_a(t)$, $y_a(t)$ e $z_a(t)$: posições dos atuadores x , y e z nas respectivas direções.

Contudo, adotam-se algumas hipóteses para validação da aplicação da Eq. 1 [1, 2, 10], tais como:

- Não há saturação do material magnético;
- Só há fluxo magnético no conjunto atuador-esfera;
- A magnetização do aço é desprezada; e
- Os materiais eletromagnéticos possuem um comportamento linear durante o funcionamento do atuador.

O material considerado para a esfera é o ferro fundido, que não deve ser submetido a um campo magnético superior ao valor limite, B_{lim} , de $0,2 T$. Dessa forma, assegura-se que o material da esfera não é sujeito à saturação, pois este estará sendo utilizado dentro de sua região linear [1, 2, 10].

A equação simplificada para o cálculo do campo eletromagnético [16] é definido por:

$$B_m(t) = k_{B_m} \frac{i}{S_0} \quad (2)$$

Tal que:

$$k_B: \text{constante de campo magnético, } k_{B_m} = \frac{1}{2} \mu_0 N.$$

Por fim, por meio da Equação 2, é verificado durante as simulações se o atuador está funcionando com $B_m(t)$ inferior ao máximo admissível, B_{lim} , e, desta forma, validando a aplicação da Eq. 1.

2.3 Dinâmica não-linear do conjunto de atuadores eletromagnéticos

As equações de Newton [5, 9], escritas no sistema de coordenadas solidário ao centro geométrico do conjunto de atuadores, para a esfera são dadas, na forma vetorial, por:

$$M[\dot{\mathbf{v}}_e + (\boldsymbol{\omega}_a \times \mathbf{v}_e)] = \mathbf{F}_{mag} - {}^a T^I \mathbf{P} \quad (3)$$

Tal que:

$$M: \text{matriz de massa, dada por } M = \begin{bmatrix} m & 0 & 0 \\ 0 & m & 0 \\ 0 & 0 & m \end{bmatrix} \text{ em que } m \text{ é a massa da esfera;}$$

$\dot{\mathbf{v}}_e$: vetor composto pelas derivadas das componentes da velocidade do centro de massa da esfera, expresso por $\dot{\mathbf{v}}_e = [\dot{x}_e(t) \quad \dot{y}_e(t) \quad \dot{z}_e(t)]^T$;

$\boldsymbol{\omega}_a$: vetor velocidade angular do centro geométrico do conjunto de atuadores, a ser definido pela Eq. 6;

\mathbf{v}_e : vetor composto pelas derivadas das componentes da posição do centro de massa da esfera, expresso por $\mathbf{v}_e = [\dot{x}_e(t) \quad \dot{y}_e(t) \quad \dot{z}_e(t)]^T$

\mathbf{F}_{mag} : vetor força eletromagnética resultante no centro de massa da esfera, definido por $\mathbf{F}_{mag} = [F_x(t) \quad F_y(t) \quad F_z(t)]^T$;

${}^a T^I$: matriz de transformação de coordenadas, a ser definida pela Eq. 5;

\mathbf{P} : vetor força peso, definido por $\mathbf{P} = [0 \quad 0 \quad mg]^T$; e

g : modulo da gravidade.

Os termos $x_a(t)$, $y_a(t)$ e $z_a(t)$ da Eq. 1 podem ser obtidos por:

$$\mathbf{d}_a(t) = {}^a T^I \mathbf{d}_{mov}(t) \quad (4)$$

Tal que:

$\mathbf{d}_{mov}(t)$: vetor posição prescrita do centro de massa do veículo no referencial Inercial, dado por $\mathbf{d}_{mov}(t) = [X_{mov}(t) \quad Y_{mov}(t) \quad Z_{mov}(t)]^T$.

2.4 Descrição do movimento do corpo no qual os atuadores são montados

Define-se um sistema de eixos coordenados xyz no centro de massa do veículo, o qual é paralelo ao sistema de coordenada Inercial XYZ , por hipótese, conforme é apresentado na Figura 4.

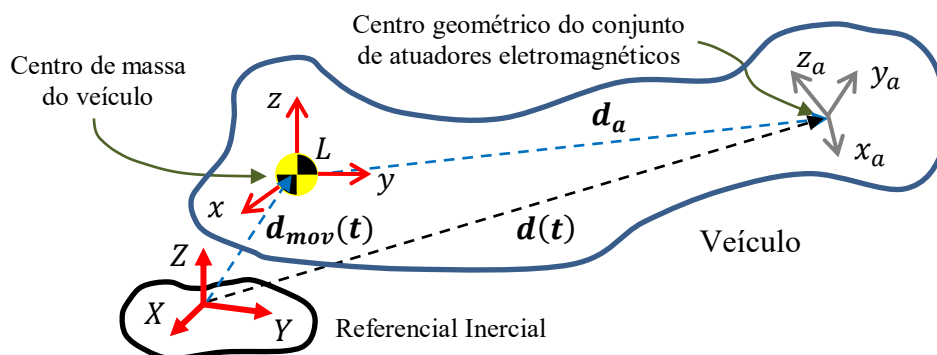


Figura 4: Sistema de coordenadas inseridas em um veículo

O movimento do veículo no espaço é descrito por meio de rotações sucessivas de seu sistema de orientação, definidos pelos ângulos de Euler: inclinação (*pitch*), θ , guinada (*yaw*), β , e rolagem (*roll*), α , [7, 8] conforme a Figura 5.

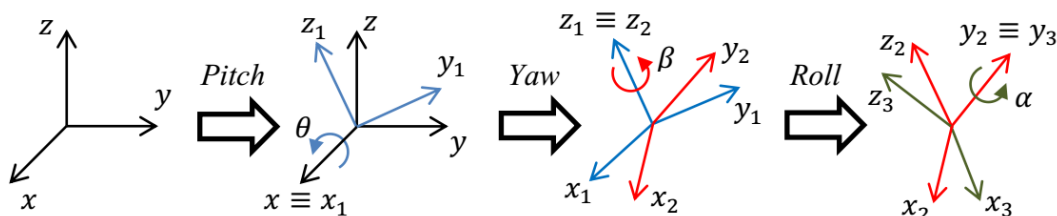


Figura 5: Orientação do veículo

Obtém-se a matriz de rotação, ${}^aT^I$, que faz a transformação de coordenada do referencial inercial, I , para o local fixo no centro geométrico do conjunto de atuadores, a , [7, 8, 13] dada por:

$${}^aT^I = \begin{bmatrix} 1 & 0 & 0 \\ 0 & \cos\theta & \sin\theta \\ 0 & -\sin\theta & \cos\theta \end{bmatrix} \begin{bmatrix} \cos\beta & \sin\beta & 0 \\ -\sin\beta & \cos\beta & 0 \\ 0 & 0 & 1 \end{bmatrix} \begin{bmatrix} \cos\alpha & 0 & -\sin\alpha \\ 0 & 1 & 0 \\ \sin\alpha & 0 & \cos\alpha \end{bmatrix} \quad (5)$$

O vetor velocidade angular do conjunto de atuadores, ω_a , [7, 8] é calculado por:

$${}^a_I\omega_a = \begin{bmatrix} \cos(\alpha) \cos(\beta) \dot{\theta} - \sin(\alpha) \dot{\beta} \\ \dot{\alpha} - \sin(\beta) \dot{\theta} \\ \cos(\alpha) \dot{\beta} + \sin(\alpha) \cos(\beta) \dot{\theta} \end{bmatrix} \quad (6)$$

A posição na qual o sistema de atuadores é montado ao corpo do veículo [13, 16, 17], conforme a Figura 5, é expressa por:

$$\mathbf{d}(t) = \mathbf{d}_{mov}(t) + {}^I T^a \mathbf{d}_a \quad (7)$$

Tal que:

\mathbf{d}_a : vetor posição do centro geométrico do conjunto de atuadores no corpo do veículo, definido como $\mathbf{d}_a = [x_c \ y_c \ z_c]^T$.

3 CONTROLE

3.1 Equação linearizada da força eletromagnética resultante de cada par de atuadores

A linearização do modelo dinâmico dos atuadores xyz , ocorre nas proximidades do ponto de operação i_0 e s_0 [14, 15]. Linearizando, a componente x da força magnética, F_{mag} , por exemplo, obtém-se:

$$f(t) \cong k_s x(t) + k_i i(t) \quad (8)$$

Tal que:

k_s : constante de deslocamento, definida por $k_s = 4k_f i_0^2 / s_0^3$; e

k_i : constante de corrente elétrica, dada por $k_i = 4k_f i_0 / s_0^2$.

A simplificação é válida [1, 2] se:

- A $i_{ctr}(t)$ é muito menor que i_0 ; e
- O $x(t)$ permanecer pequeno quando comparado à s_0 .

Na Figura 6, é apresentado um diagrama esquemático para o projeto de controle da posição da esfera (ao longo do eixo x_a) [13].

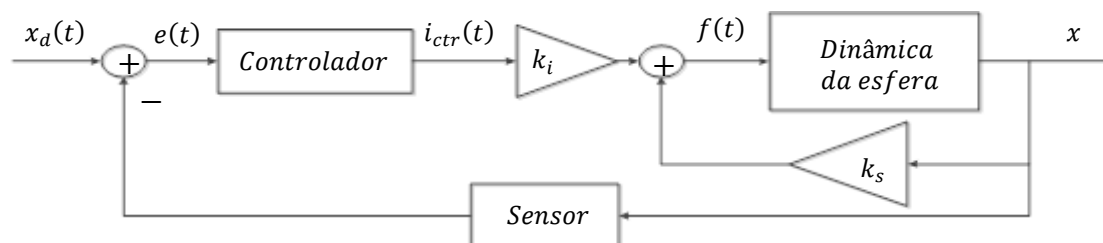


Figura 6: Diagrama esquemático para o controle da posição da esfera

Dá-se um movimento de entrada à esfera definido por $x_d(t)$, que é comparado à posição medida pelo sensor, $x(t)$, gerando um erro, $e(t)$, variável de entrada do controlador.

Em seguida, o controlador interfere, por meio da corrente elétrica de controle $i_{ctr}(t)$, na força resultante deste sistema, $f(t)$, e conseqüentemente na dinâmica da esfera.

Desta forma, obtém-se a posição da esfera, $x(t)$, que tende a acompanhar a entrada introduzida ao sistema, $x_d(t)$, ou seja, o erro de posição $e(t)$ é reduzido. Um esquema correspondente é válido para os demais eixos.

3.2 Arquitetura de controle

É abordada a técnica do controlador PID analógico para a obtenção das correntes elétricas de controle $i_{ctr_x}(t)$, $i_{ctr_y}(t)$ e $i_{ctr_z}(t)$ com as seguintes hipóteses:

- Os sinais de entrada para os controladores são dados por:

$$\begin{cases} e_x(t) = x_a(t) - x_e(t) \\ e_y(t) = y_a(t) - y_e(t) \\ e_z(t) = z_a(t) - z_e(t) \end{cases} \quad (9)$$

- Sensor analógico de posição com ruído;
- Não há saturação do campo eletromagnético em cada atuador; e
- Saturação da corrente elétrica é desprezada.

O controlador deve manter os erros de posição próximos à zero para evitar contato entre as superfícies dos atuadores e a esfera levitada.

Por ocasião de movimentos prescritos que envolvam a rotação do veículo, conforme a Figura 7(a), os atuadores passam a girar em torno da esfera levitada mudando seu referencial de xyz para o $x'y'z'$, conforme apresentado na Figura 7(b).

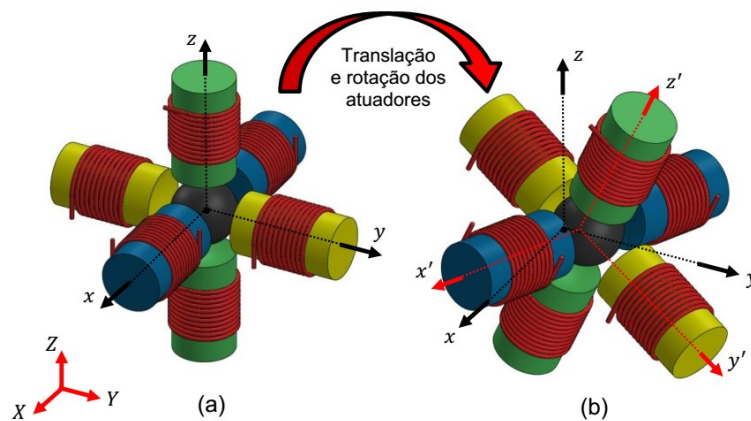


Figura 7: Condição inicial do sistema (a) e translação e rotação dos atuadores (b)

3.3 Controlador PID

Para se atender às especificações de critério de desempenho (esfera levitar entre os atuadores sem que haja contato), é necessário sintonizar o controlador para obter o sinal de controle, $u(t)$, [12, 17]:

$$u(t) = k_P e(t) + k_I \int_0^t e(t) dt + k_D \frac{de(t)}{dt} \quad (10)$$

Tal que:

- $e(t)$: erro do sistema;
- k_P : ganho proporcional;
- k_I : ganho integral; e
- k_D : ganho derivativo.

3.4 Ajuste dos ganhos do controlador

É empregado o método de resposta em frequência proposto por Ziegler-Nichols [12, 17] por ser de maior simplicidade se comparada a outras técnicas de controle.

Por meio de simulações numéricas com um modelo linear das equações de um par de atuadores em movimento com esfera levitada, obteve-se os ganhos do controlador PID: $k_P = 12 \times 10^3$, $k_I = 12,7 \times 10^5$ e $k_D = 25,63$.

3.5 Sensor de posição

Supõem-se, no modelo, que exista um sensor analógico de posição acoplado a cada par de atuadores capaz de medir a distância entre as superfícies da esfera e do par de atuadores colineares, Figura 12, que permite obter o erro de posição da esfera levitada.

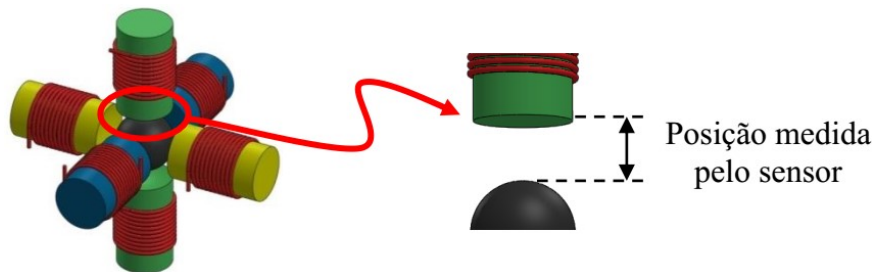


Figura 8: Medição realizada pelo sensor

A fim de tornar o modelo dos atuadores mais fidedigno com a realidade, é adicionado à variável de saída da dinâmica do sistema, um termo correspondente ao erro do sensor [7]:

$$\begin{cases} Erro_x(t) = e_x(t) + \eta(t)_{aleatório} \\ Erro_y(t) = e_y(t) + \eta(t)_{aleatório} \\ Erro_z(t) = e_z(t) + \eta(t)_{aleatório} \end{cases} \quad (11)$$

Tal que:

$Erro_x(t)$, $Erro_y(t)$, e $Erro_z(t)$: sinais de erro medidos pelos sensores nas direções dos atuadores x , y e z , respectivamente; e

$\eta(t)_{aleatório}$: erro aleatório do sensor, que é representado por uma função de distribuição de probabilidade (fdp) uniforme, onde os intervalos da função correspondem à incerteza do sensor, que é informada pelo fabricante ($\pm\eta$).

4 SIMULAÇÕES E RESULTADOS

4.1 Parâmetros utilizados nas simulações

As simulações são feitas considerando os parâmetros [6] da Tabela 1.

Tabela 1: Parâmetros utilizados para simulação numérica

Variável	Parâmetro	Valor	Unidade
Massa da esfera	m	$1 \cdot 10^{-3}$	kg
Diâmetro da esfera	d_{esf}	$10 \cdot 10^{-3}$	m
Permeabilidade elétrica relativa do ar	μ_0	$4\pi \cdot 10^{-7}$	H/m
Número de espiras da bobina	N	1362	—
Área da seção reta do atuador	A_a	$760 \cdot 10^{-6}$	m ²
Corrente elétrica <i>bias</i>	i_0	$202,7 \cdot 10^{-3}$	A
Condutividade elétrica	σ	$1,07 \cdot 10^{+7}$	($\Omega \cdot m$) ⁻¹
Posição <i>bias</i>	s_0	$3 \cdot 10^{-3}$	m
Incerteza do sensor de posição	η_{inf}	$-1 \cdot 10^{-6}$	m
	η_{sup}	$1,00 \cdot 10^{-6}$	m

4.2 Simulações e resultados

Para implementação computacional, é necessário reorganizar e reduzir a ordem da Eq. 2 [6, 7, 8] e, a seguir, utiliza-se o Método Numérico de Runge-Kutta de 4ª ordem [3] com passo de integração de 0,1 ms para resolvê-la.

Durante as simulações é estabelecido o seguinte critério para aceitação do funcionamento do dispositivo: a esfera permanecer levitando entre os atuadores sem que haja contato, enquanto o veículo realiza movimentos típicos de um VANT (veículo aéreo não tripulado), conforme a Figura 9.

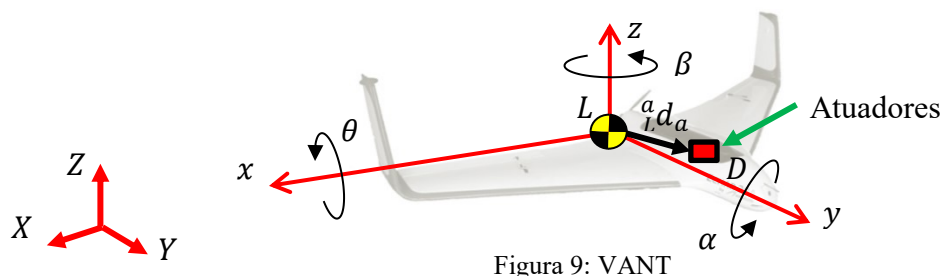


Figura 9: VANT

O vetor posição do centro geométrico dos atuadores e esfera levitada é dado por $\mathbf{d}_a = [0,05 \ 0,65 \ 0,10]^T$ e se inicia a simulação introduzindo o movimento prescrito do VANT [11]:

$$\mathbf{d}_{mov}(t) = \begin{bmatrix} 5 + 0,02\text{sen}\left(\frac{\pi}{9}t\right) \\ 20t + 0,02\text{sen}\left(\frac{\pi}{9}t\right) \\ 3 + 0,02\text{sen}\left(\frac{\pi}{9}t\right) \end{bmatrix} \quad \begin{cases} \theta(t) = \frac{\pi}{60}\text{sen}\left(\frac{\pi}{6}t\right) \\ \beta(t) = \frac{\pi}{36}\text{sen}\left(\frac{\pi}{7}t\right) \\ \alpha(t) = \frac{7\pi}{180}\text{sen}\left(\frac{\pi}{8}t\right) \end{cases} \quad (12)$$

Em seguida será avaliado o desempenho do sistema quando o veículo realiza uma curva, dada por:

$$\mathbf{d}_{mov}(t) = \begin{bmatrix} 75 + 65 \cos\left(\frac{\pi}{10}t\right) + 0,02\cos\left(\frac{\pi}{9}t\right) \\ 78 + 65 \text{sen}\left(\frac{\pi}{10}t\right) + 0,02\text{sen}\left(\frac{\pi}{9}t\right) \\ 3 + 0,02\text{sen}\left(\frac{\pi}{9}t\right) \end{bmatrix} \quad \begin{cases} \theta(t) = \frac{\pi}{60}\text{sen}\left(\frac{\pi}{6}t\right) \\ \beta(t) = \pi\text{sen}\left(\frac{\pi}{10}t\right) + \frac{\pi}{36}\text{sen}\left(\frac{\pi}{7}t\right) \\ \alpha(t) = \frac{7\pi}{180}\text{sen}\left(\frac{\pi}{8}t\right) \end{cases} \quad (13)$$

Verifica-se na Figura 10(a) que o erro de posição na direção do atuador y (1,0 mm) é de amplitude maior que os demais, que tendem à proximidade do zero, no entanto todos são significativamente inferiores a s_0 (3 mm), indicando que a esfera não colidirá com as superfícies dos atuadores e nem se aproximará excessivamente das mesmas.

Nota-se na Figura 10(b) que a esfera permanece entre os atuadores sem que haja contato. Em todos os casos, a posição da esfera apresenta o movimento oscilatório amortecido até a proximidade do zero.

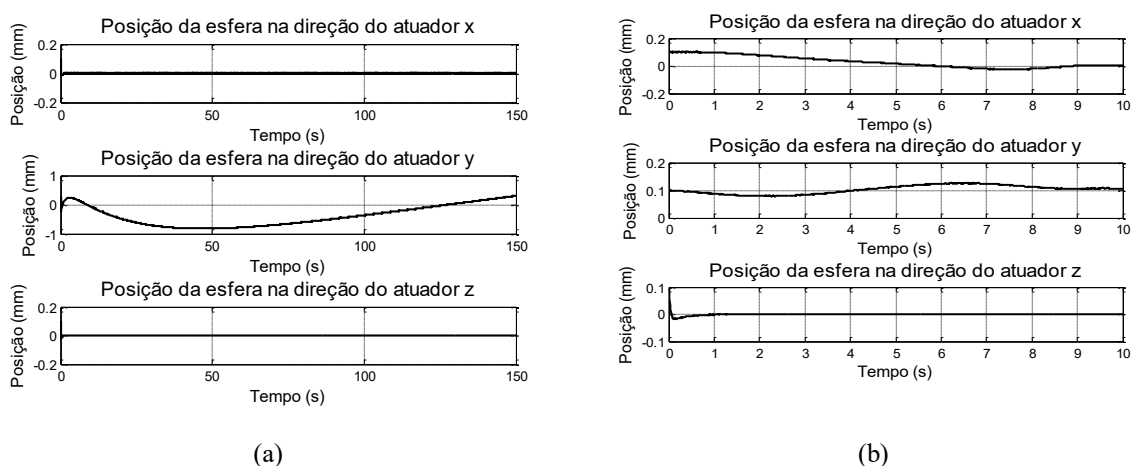


Figura 10: Resultados da simulação para o sistema montado no VANT (a) e quando o VANT descreve uma curva (b), ambos com trepidações

Durante as simulações, o fluxo do campo magnético máximo encontrado é 1,0 mT, portanto, os efeitos de histerese e saturação podem ser considerados desprezíveis e sendo razoável não incluí-los no modelo [1, 2, 6].

5 CONCLUSÕES

O sistema de controle PID analógico mantém a posição entre a esfera e o conjunto de atuadores dentro da folga especificada, para os movimentos considerados para o VANT.

Verifica-se que o campo magnético nos atuadores é muito pequeno, confirmando que os efeitos de histerese e saturação podem ser desprezados na modelagem.

Os resultados apresentados indicam que este sistema é promissor para ser aplicado a um sistema de sensoriamento de posição.

A análise dos movimentos de rotação da esfera não foram abordados neste artigo, pois serão propostos para trabalhos futuros.

REFERÊNCIAS

- [1] F. Barrot. *Acceleration and Inclination Sensors Based on Magnetic Levitation. Application in the Particular Case of Structural Health Monitoring in Civil Engineering*. Tese de Doutorado, Laboratoire de Systèmes Robotiques 1: Section de Microtechnique, École Polytechnique Fédérale de Lausanne, Lausanne, Switzerland, 2008.
- [2] A. R. Boletis. *High speed micromotor on a three-axis active magnetic bearing*. Tese de Doutorado, Laboratoire de Systèmes Robotiques 1: Section de Microtechnique, École Polytechnique Fédérale de Lausanne, Lausanne, Switzerland, 2005.
- [3] J. P. P. Dieguez. *Métodos de Cálculo Numérico*. Rio de Janeiro: IME, 2005.
- [4] École Polytechnique Federale De Lausanne, A. R. Boletis, F. Barrot e R. Moser. *Three axis active magnetic levitation for inertial sensing systems*. US Pat. 7.252.001 B2, 7 ago 2007.
- [5] D. T. Greenwood. *Principles of dynamics*. Englewood Cliffs: Prentice Hall, 1965.
- [6] M. Gruzman e I. F. Santos. Vibration control of a flexible structure with electromagnetic actuators. *Journal of the Brazilian Society of Mechanical Sciences and Engineering*, 38(4):1131–1142, 2016.

- [7] M. Gruzman. *Sistema de acompanhamento de alvos montado em um corpo em movimento*. Tese de Doutorado, Departamento de Engenharia Mecânica, Pontifícia Universidade Católica do Rio de Janeiro, Rio de Janeiro, Brasil, 2011.
- [8] M. Gruzman. *Simulação de giroscópico de suspensão cardânica com dois graus de liberdade*. Dissertação de mestrado, Seção de Engenharia Mecânica e de Materiais, Instituto Militar de Engenharia, Rio de Janeiro, Brasil, 2003.
- [9] E. J. Haug. *Computer Aided Kinematics and Dynamics of Mechanical Systems*. Massachusetts: Allyn and Bacon Series of engineering, 1989.
- [10] F. Lössch. *Identification and automated controller design for active magnetic bearing systems*. Tese de doutorado, Swiss Federal Institute of Technology, Zurich, Switzerland, 2002.
- [11] M. A. Lee. *A system engineering approach for unmanned aerial vehicle system development with autonomous and ground tracking capability*. Tese de doutorado, National Cheng Kung University, Tainan, Taiwan, 2007.
- [12] K. Ogata. *Engenharia de Controle Moderno*. São Paulo: Prentice Hall, 5ª edição, 2011.
- [13] I. F. Santos. *Dinâmica de sistemas mecânicos: modelagem – simulação – visualização - verificação*. São Paulo: Makron books Ltda., 2001.
- [14] G. Schweitzer, E. Maslen, H. Bleuler, M. Cole, P. Keogh, R. Larssonneur, R. Nordmann, Y. Okada e A. Traxler. *Magnetic Bearings: Theory, Design and Application to Rotating Machinery*. New York: Springer, 2009.
- [15] R. M. Stephan, F. A. N. C. Pinto, A. C. D. N. Gomes, J. A. Santisteban e A. O. Salazar. *Mancais Magnéticos: Mecatrônica sem atrito*. Rio de Janeiro: Ciência Moderna Ltda., 2013.
- [16] R. A. Tenenbaum. *Fundamentals of Applied Dynamics*. New York: Springer, 2004.
- [17] A. Visioli. *Practical PID Control*. New York: Springer, 2006.